



ISSN 0250-3301 CODEN HCKHDV HUANJING KEXUE

- 主办 中国科学院生态环境研究中心
- ■出版科学出版社



2019

Vol.40 No.8 第40卷 第8期

ENVIRONMENTAL SCIENCE

第40卷 第8期 2019年8月15日

目 次

```
2016年京津冀地区红色预警时段 PM2.5污染特征与浓度控制效果 ……… 张冲,郎建垒,程水源,王晓琦(3397)
北京地区秋冬季大气污染特征及成因分析………………… 徐冉,张恒德,杨孝文,程水源,张天航,江琪(3405)
濮阳市秋冬季大气细颗粒物污染特征及来源解析
ボニョウ、エット、ペットの では、カットの では、カットのでは、カットのでは、カットのでは、カットのでは、カットのでは、カットのでは、カットのでは、カットのでは、カットのでは、カットのでは、カットのでは、カットのでは、カットのでは、カットのでは、カットのでは、カットのでは、カットのでは、カットのでは、カットのでは、カットのでは、カットのでは、カットのでは、カットのでは、カットのでは、カットのでは、カットのでは、カットのでは、カットのでは、カットのでは、カットのでは、カットのでは、カットのでは、カットのでは、カットのでは、カットのでは、カットのでは、カットのでは、カットのでは、カットのでは、カットのでは、カットのでは、カットのでは、カットのでは、カットのでは、カットのでは、カットのでは、カットのでは、カットのでは、カットのでは、カットのでは、カットのでは、カットのでは、カットのでは、カットのでは、カットのでは、カットのでは、カットのでは、カットのでは、カットのでは、カットのでは、カットのでは、カットのでは、カットのでは、カットのでは、カットのでは、カットのでは、カットのでは、カットのでは
   …………… 胡昕怡, 高冰丽, 陈坦, 王洪涛, 金军, 饶竹, 朱雪芹, 王雪郡, 魏抱楷, 战楠, 刘彦廷, 戚敏(3501)
外源输入对底泥疏浚新生表层磷恢复及迁移的影响 ……… 李鑫, 耿雪, 王洪伟, 龚琬晴, 文帅龙, 钟继承, 李大鹏(3539)
新疆喀什三角洲地下水 SO<sub>4</sub><sup>-</sup> 化学特征及来源 …… 魏兴,周金龙,乃尉华,曾妍妍,范薇,李斌(3550)
饮用水快速砂滤池优势微生物群落的代谢功能解析 …… 胡万超,赵琛,王巧娟,刘锐平,柏耀辉(3604)
光催化/活性炭/纳滤组合工艺处理二级出水及对膜污染的控制 草外逊,张守红,张英,吴思婷(3618)
光催化/活性炭/纳滤组合工艺处理二级出水及对膜污染的控制 范科文,李星,杨艳玲,周志伟(3626)
多种材料对水中氨氮的吸附特性 焦巨龙,杨苏文,谢宇,金位栋,闫玉红,徐彬(3633)
不同氨氮浓度对 4 株常见藻株生长及酶活性的影响 常婷,许智慧,程鹏飞,徐继林,周成旭(3642)
缺氧 MBBR 耦合部分厌氧氨氧化强化城市生活污水深度脱氮 …… 杨岚,彭永臻,李健伟,高锐涛,王茗,李夕耀(3668)连续流系统中好氧段及沉淀段对污泥及其缺氧段脱氮能力的影响 …… 薛欢婷,袁林江,刘小博,孙恒锐(3675)
异养硝化细菌 Acinetobacter junii NP1 的同步脱氮除磷特性及动力学分析 ·································
    两种土壤增效剂对稻田氨挥发排放的影响 …………… 周玉玲, 侯朋福, 李刚华, 王绍华, 杨林章, 薛利红, 丁艳锋(3746)
铁锰氧化物在不同水分条件下对土壤 As 的稳定化作用 …………… 周海燕, 邓一荣, 林龙勇, 曹梦华, 钟立荣(3792)
生物质炭对双季稻水稻土微生物生物量碳、氮及可溶性有机碳氮的影响…… 刘杰云, 邱虎森, 汤宏, 沈健林, 吴金水(3799)
有机物料对紫色土微生物量碳、氮及氮素供应的影响 ………………………………………………… 汪月,张名豪,赵秀兰(3808)
土地利用方式对土壤团聚体稳定性和有机碳含量的影响………… 罗晓虹, 王子芳, 陆畅, 黄容, 王富华, 高明(3816)
宁南山区退耕还林还草对土壤氮素组成及其转化酶活的影响 ················高涵,肖礼,牛丹,倪银霞,黄懿梅(3825)不同浸提剂条件下生物炭溶解性有机物的浸出规律 ··············何品晶,张昊昊,仇俊杰,邵立明,吕凡(3833)
基于成组生物毒性测试的 PM<sub>2.5</sub>毒性 ················ 江晓栋, 薛银刚, 魏永, 许霞, 刘菲, 薛柯, 施昕澜, 顾铭(3840)
《环境科学》征订启事(3587)
                       《环境科学》征稿简则(3595) 信息(3611,3705,3745)
```

中国城市扩张及空间特征变化对 PM2.5 污染的影响

王桂林,张炜*

(上海城建职业学院城市发展研究中心,上海 200438)

摘要:为推动绿色生态城区构建,基于 2000~2015 年城市分类数据,研究中国城市扩张以及城市空间特征变化对大气环境的影响.得出中国城市扩张(人口、经济和地域面积扩张)以及城市空间特征[人口密度、城市空间紧凑度(compact index, CI)、不透水覆盖率(impervious surface coverage, ISC)、植被覆盖率(NDVI)和夜间灯光指数]变化与 $PM_{2.5}$ 污染显著相关,相关强度顺序为夜间灯光指数 > CI > 人口密度 > ISC > 城市地域扩张 > 城市人口扩张 > NDVI;夜间灯光指数与 $PM_{2.5}$ 变化关系最明显,相关系数 R 为 0.77,具有强相关性,表征经济发展对 $PM_{2.5}$ 的影响最大;城市 CI 和人口密度与 $PM_{2.5}$ 变化的相关系数分别为 0.66 和 0.55,中强相关。2010~2015 年期间,城市扩张、城市空间特征变化、城市空间特征异质性变化对 $PM_{2.5}$ 浓度变化总贡献率为 80.30%。城市空间特征变化的贡献率最高为 55.00%,城市空间异质性的贡献率为 25.60%,均大于 2010年基础城市特征的贡献率 5.70%。2000~2010 年期间,城市空间特征变化对 $PM_{2.5}$ 浓度变化贡献率为 39.30%,城市空间特征异质性的贡献率分别为 14.90%,均大于 2000 年基础城市特征的贡献率 3.70%。结论表明未来城市转型发展中,构建绿色生态城区应充分考虑城市空间布局、城市空间特征变化,把城市建设对生态环境的破坏降到最小,实现低碳循环绿色发展。

关键词:城市扩张;城市空间特征;城市特征空间异质性;PM_{2.5}污染;城市化中图分类号: X513 文献标识码: A 文章编号: 0250-3301(2019)08-3447-10 **DOI**: 10.13227/j. hjkx. 201812157

Effects of Urban Expansion and Changes in Urban Characteristics on $PM_{2.5}$ Pollution in China

WANG Gui-lin, ZHANG Wei*

(City Development Research Center, Shanghai Urban Construction Vocational College, Shanghai 200438, China)

Abstract: Study of the influence of China's rapid urbanization and changing urban characteristics on urban ecology is of profound significance for the sustainable development of cities. The results of this study found that such changes have had a profound effect on $PM_{2.5}$ concentrations. To explore the effects of urbanization on air quality (especially on $PM_{2.5}$) we used indicators of population expansion, economic expansion, and urban geographical to represent levels of urban expansion, and used population density, urban CI, ISC., NDVI, and a night light index to indicate urban space characteristics. The strength of correlations between urban space characteristics and $PM_{2.5}$ pollution were as follows: night light index > CI > population density > ISC > urban geographical expansion \geq population expansion > NDVI. The highest correlation coefficient was between $PM_{2.5}$ and the night light index, which was 0.77. During 2010-2015, the total contribution of urban expansion, urban characteristics, and spatial heterogeneity was 80.30%. The contribution of changes in urban characteristics was 55.00% and the contribution of spatial heterogeneity was 25.60%, both of which were above the contribution of basic urban characteristics in 2010, which was 5.70%. From 2000 to 2010, the contribution of changes in urban spatial characteristics was 14.90%, both of which were higher than the contribution of basic urban characteristics in 2000, which was 3.70%. The results indicated that as urban transformation and development continue, green ecological cities should fully consider urban spatial layouts and the associated changes in urban spatial characteristics, minimize damage to the ecological environment from urban construction, and they should realize low-carbon and green development.

Key words: urban expansion; urban characteristics change; spatial heterogeneity; PM, 5 pollution; urbanization

改革开放 40 年,中国城镇化水平显著提高,从 1978 年的 18.00%上升到 2017 年的 57.40%,预计到 2035 年城镇化水平将达 71.00% ~ 73.00% 之间^[1]. 快速粗放型的城镇化导致城市生态环境污染凸显,尤其是 PM_{2.5}(即动力学直接小于 2.5 μm 的细颗粒物)污染,会增加人类心血管疾病和呼吸系统疾病的发病率和死亡率,提高人类死亡风险^[2,3]. 面对日益严峻的生态环境问题,党的十九大报告明确指出大力推进生态文明建设,全面贯彻城市绿色发展理念^[4-6]. 城市化进程包括人口城市

化、经济城市化和土地城市化三大最显著的特征^[7,8]. 中国城市人口数量已从 1979 年的 1.73 亿增长 到 2017 年 的 8.13 亿^[9,10],增长 率 为 369.94%.为满足不断涌入城市的人口生活需求,

收稿日期: 2018-12-19; 修订日期: 2019-03-18

基金项目: 教育部博士点专项(20115303110002); 国家高技术研究 发展计划(863)项目(2012AA121402); 上海城建职业学 院重点项目(cjjkyz201705); 上海城建职业学院青年项 目(cjqn201901)

作者简介: 王桂林(1986~), 女, 博士, 讲师, 主要研究方向为大 气环境污染、地理信息系统, E-mail:kawgl@126.com

* 通信作者,E-mail:zhangwei23e@163.com

中国城市地域扩张比城市人口的增速还快, 农用 地、湿地等生态用地逐步被吞没,人类活动产生的 生态足迹远比城市本身对生态环境的危害要大很多 (大约200倍),城市化已经成为气候变化的一个主 要因素[11]. Palmer 等[12]认为在未来的生态环境研 究中,人类开发活动应作为地球生态系统的一个重 要组成部分来研究人类对生态环境的影响, 尤其是 城市生态环境. 最能表征人类活动强度的是城市扩 张以及城市扩张导致的城市空间特征变化, 例如城 市地域扩张的人工地表-不透水面蔓延对生态系统 影响巨大,直接改变城市下垫面结构,破坏生态系 统结构,导致生态功能退化[13,14].目前,从城市化 角度分析城市空气污染主要从社会经济方面来研 究[15~19],从城市扩张以及城市空间特征变化的视 角来解析城市化进程中人类活动对城市 PM,、污染 的影响的研究还没有. 如何有效控制和治理空气污 染,目前还没有可行方案.PM,5重度污染持续在中 国暴发,如何有效解决城市化发展带来的生态环境 问题迫在眉睫. 掌握和理解城市扩张. 城市空间特 征变化以及城市特征空间异质性对 PM2.5污染的影 响,对改变城市发展方式,提高城市发展质量,实 现城市精细化管理对有效控制和治理 PM。5污染提 供理论基础, 以期为未来建设环境友好的新型城市 提供科学依据.

1 材料与方法

1.1 数据来源

采用 PM_{2.5} 质量浓度表征空气质量数据,自 2012 年 12 月中国 PM_{2.5}污染引起公众关注以来,全 国范围开始建立 PM_{2.5}实时自动监测网,来分析和 监测污染状况. 地面监测数据实时、准确,然而地面监测点稀少,且主要部署于城市中心,数据有限,且时间跨度较短,难以长时间序列地分析城市空气质量变化趋势. 采用卫星遥感影像与地面监测数据相结合提取的 $PM_{2.5}$ 数据来分析中国 $PM_{2.5}$ 污染变化趋势可以弥补地面监测数据的缺陷. 该数据来源于加拿大达尔豪西大学,是由 Van 等^[20]在 2016年采用时空地理加权模型 (geographically temporal weighted regression,GTWR) 结合遥感卫星数据,GEOS 模拟数据和地面监测数据来估算 $PM_{2.5}$ 浓度值. 由于既考虑气溶胶的化学组分和土地利用信息,也充分利用地面稀释的监测站点数据,该模型 $PM_{2.5}$ 的估算精度在空间分辨率上提高了 10 倍. 基于交叉验证方法和地面监测值,得出该模型的 $PM_{2.5}$ 估算值精度为 81.00% [21~26].

中国城市扩张数据、城市特征数据如表 1 所示. 城市扩张包括 2000~2015 年的城市人口扩张,城市地域扩张,城市特征包括 CI、ISC、NDVI 和夜间灯光指数. 采用 NDVI 来表征城市区域植被覆盖状况,把夜间灯光指数作为一个可量测的空间指标来表征城市经济发展水平^[27]. 此外,采用城市特征空间异质性来表达城市内部形态对城市空气质量的影响,如人口密度在城郊区与主城区不同即为城市特征空间异质性.

为了更好地分析城市化过程城市扩张以及城市 空间特征变化带来的空气污染,把气象条件,地形 和秸秆燃烧等因素考虑其中,剔除这些因素的影响,最后得出人类活动对空气污染的贡献率.气象 条件包括年均降雨、气温;地形包括高程、坡度、 坡向;秸秆燃烧为年均明火数量(表1).

表 1 2000、2010 和 2015 年的空间变量数据信息

Table 1 $\,$ Information for the spatial variables in 2000, 2010, and 2015

变量名称	分辨率	来源
PM _{2.5} 质量浓度/μg·m ⁻³	0.01	Atmospheric Composition Analysis Group
城市分类[分类编号(1,0)]	250 m	World Bank
人口密度/人·km ⁻²	1 000 m	NASA SEDAC
$NDVI(-1\sim1)$	250 m	NASA LP DAAC
ISC/%	1 km	NOAA NGDC
夜间灯光指数/%	1 km	NOAA NGDC
降雨/mm	0. 25	NASA EOC
气温/℃	0. 1	NASA EOC
秸秆燃烧数量/火点数量·(1000 km²) -1	0. 1	NASA EOC
DEM/m	90 m	USGS

CI 是城市发展形态与模式,在一定程度反映城市空间形态,其直接影响城市交通通勤距离,间接影响工业生产,建筑建设等,加剧城市大气污染.把 CI 作为一个城市空间特征指标,分析 CI 对空气

质量的影响意义重大. 基于 2000、2010 和 2015 年 的城市足迹计算 2000、2010 和 2015 年各城市的 CI. CI 的计算见式(1):

$$CI = 2 \sqrt{\pi A} \times P^{-1} \tag{1}$$

式中, CI 为城市空间紧凑度(compact index), A 为城市区块面积(m^2), P 为城市块周长(m).

1.2 研究区域与研究对象

与大多采用行政区划^[28]研究城市化对大气环境污染的影响不同,采用世界银行 2015、2010 和2000 年的东亚城市分类数据^[29]来划分城区与非城区(图 1),具体借鉴 Larkin 等^[19]的城市区域界定方法见式(2).

城市区域 =
$$\begin{cases} 1 & \text{世界银行城市分类数据} \\ 1 & \text{城市区域面积在缓冲区 1 km} \\ \text{内 \geq 20% 的区域} \\ 0 & 其他 \end{cases}$$
 (2)

式中,编码1为城市区,0为非城市区.选取2015年人口总数大于10万人的城市区域作为研究对象,共有364个城区.其中城市人口总数为城市区域面

积与城市人口网格密度均值乘积^[30]. 把城市人口总数大于10万人的城市区域作为典型代表区域来分析中国城市扩张以及城市空间特征变化带来的城市环境效应.

1.3 PM,5质量浓度与城市特征变化

1.3.1 城市扩张以及空间特征变化

城市扩张以及城市空间特征变化趋势是采用 2015 年城市区域的均值减去 2000 年的城市区域的 均值.

$$\Delta \, \overline{D}_{ij} = \overline{D}_{ij2015} - \overline{D}_{ij2000} \tag{3}$$

式中, ΔD_{ij} 表达变量 i 在城市区域 j 从 2000 ~ 2015 年的变化值. \overline{D}_{ij2000} 表达变量 i 在 2000 年在城市区域 j 的均值. \overline{D}_{ij2015} 是变量 i 在 2015 年在城市区域 j 的均值. 同理,2010 ~ 2015 年和 2000 ~ 2010 年的变化也采用同样的方法.

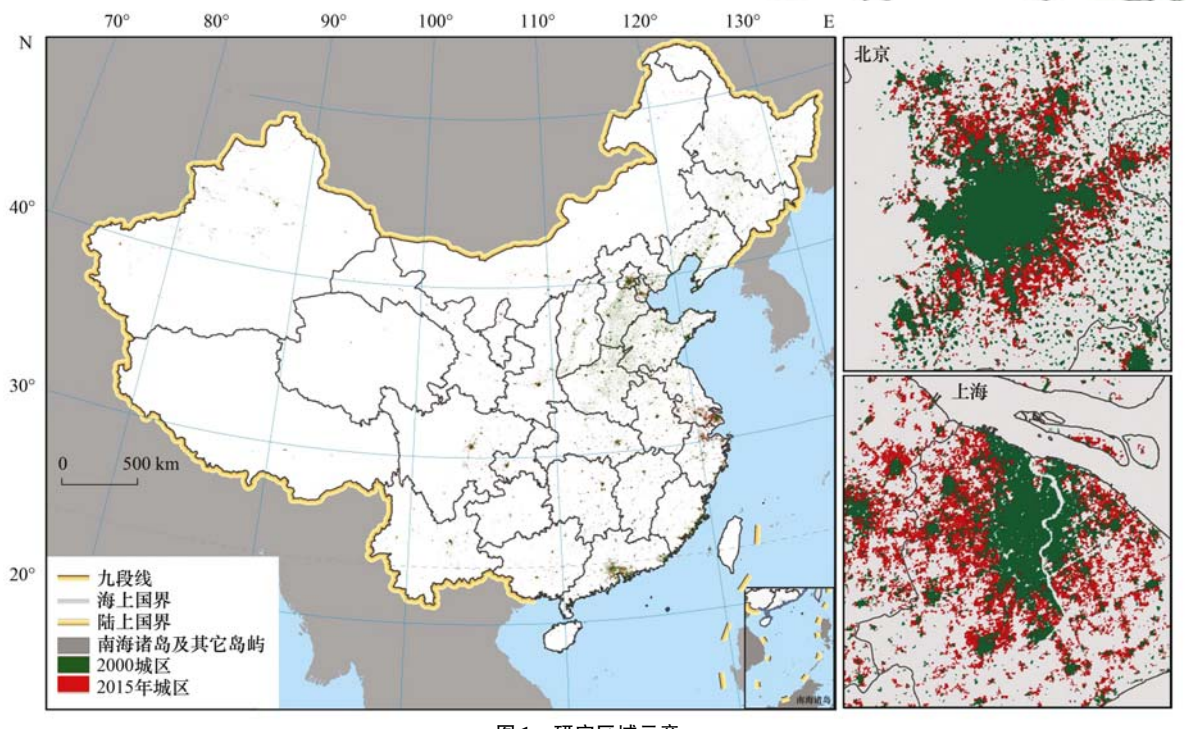


图 1 研究区域示意

Fig. 1 Map of the study area

1.3.2 城市特征空间异质性变化

采用城市特征变量在城市区域内的标准差来表 达城市形态空间异质性. 那么 2000~2015 年间城 市区域的城市形态空间异质性变化趋势:

$$\Delta \overline{SD}_{ij} = \overline{SD}_{ij2015} - \overline{SD}_{ij2000} \tag{4}$$

式中, $\Delta \overline{SD}_{ij}$ 表示变量 i 在城市区域 j 上的标准差的变化. \overline{SD}_{ij2000} 表示 2000 年变量 i 在城市区域 j 内的标准差. 其中由于 $PM_{2.5}$ 数据空间分辨率为 1 km × 1 km,因此当城市区域面积小于 1 km² 时,其城市空间形态变化设为 0.

由于城市扩张, 2000、2010 与 2015 年城市区

域在空间上没有完全重叠,是不连续的. 研究区 2015 年是 364 个城市区块,在 2010 年是 405 个城市区块,而在 2000 年包括1 434个城市区块,由于城市扩张导致其存在一对多的关系,即在 2015 年的城市区域 *j* 领域内,其在 2010 和 2000 年的时候包括多个相对较小的城市区域. 采用面积加权的方法计算 2000 年各城市区域的变量均值及标准差,公式如下:

$$\Delta \overline{D}_{ij} = \overline{D}_{ij2015} - \frac{\sum_{l=1}^{t} \overline{D}_{il2000} \times AREA_{l2000}}{\sum_{l=1}^{t} AREA_{l2000} \times t}$$
 (5)

式中, $\Delta \overline{D}_{ij}$ 为变量 i 在城区 j 从 2000 ~ 2015 年的面积权重均值变化值. \overline{D}_{ij2000} 为变量 i 在 2000 年的城区 l 上的均值,AREA_{l2000} 为 2000 年的城区 l 内的城市总面积. t 为 2015 年的城区 j 在 2000 年所包含的城市区域总数量.

1.4 统计分析

首先,采用多元配对 T-检验方法对各自变量在2000~2010年和2010~2015年的变量值进行差异检验.第二,对因变量(PM_{2.5})和各自变量进行单变量线性回归分析,分析各单变量与 PM_{2.5}质量浓度变化的相关关系.第三,采用多元回归分析方法构建多自变量与因变量的回归分析,其中模型结构包括:包含所有自变量和相互独立的精选自变量的多元回归模型,气象条件,地形和秸秆燃烧作为调整变量以排除这些重要因素对 PM_{2.5}的影响,最终得出城市扩张,城市特征变化以及城市特征空间异质性变化对城市空气污染的影响程度.

2 结果与讨论

- 2.1 中国城市扩张与空气污染变化趋势
- 2.1.1 近 20 年来中国 PM_{2.5}质量浓度时空分布特征中国近几年来,雾-霾频发,PM_{2.5}污染严重.中国 PM_{2.5}年均值变化趋势为(图 2):1999~2003 年间处于第一个跃升期,从 29.89 μg·m⁻³飙升到 39.49

μg·m⁻³, 4 a 间增长 9.60 μg·m⁻³, 增长率为 32.12%, 年均增长率为8.03%; 第二个污染加剧 期为 2004~2006年间,从 34.76 μg·m⁻³增长到 38. 82 μg·m⁻³, 增长了 4. 06 μg·m⁻³, 年均增长率 5.84%; 2006~2012年间进入减缓期,从38.82 μg·m⁻³减缓到 33.02 μg·m⁻³, 6a 间减缓了 5.8 μg·m⁻³, 减缓率为 14.94%. 2012~2015 年间再一 次迈入污染加剧期, 从 33. 02 μg·m⁻³增长到 38. 49 μg·m⁻³, 3 a 增长了 5.47 μg·m⁻³, 年均增长率 16.57%. 面对持续高污染事件发展, 国家自 2013 年起出台了相关空气污染防控、减排政策, PM,5质 量浓度又进入减缓阶段, 从 2013 年 38. 49 μg·m⁻³ 减缓到 2014 年 35. 99 μg·m⁻³. 虽然到 2015 年又开 始增长, 但增长速度(4.03%)是1999~2003年间 增长速度(8.30%)的一半. 表明相关空气污染控制 政策虽然没能控制住 PM2.5污染暴发, 但对 PM2.5的 增长速度具有一定的抑制作用,对于治理空气污染 还是有效的.

图 3 展示中国 2000~2015 年间 PM_{2.5}质量浓度 时空变化趋势, 呈显著加剧态势. 2000、2010 和 2015 年的 PM_{2.5}污染成倒"T"型的空间分布格局, 形成"东北三省-华北平原-中东部-川渝-湖南-广西" 纵向污染带(东南区域)和"华北平原-山西-甘肃-宁夏-西宁-新疆塔克拉玛干沙漠"横向污染带(西北区

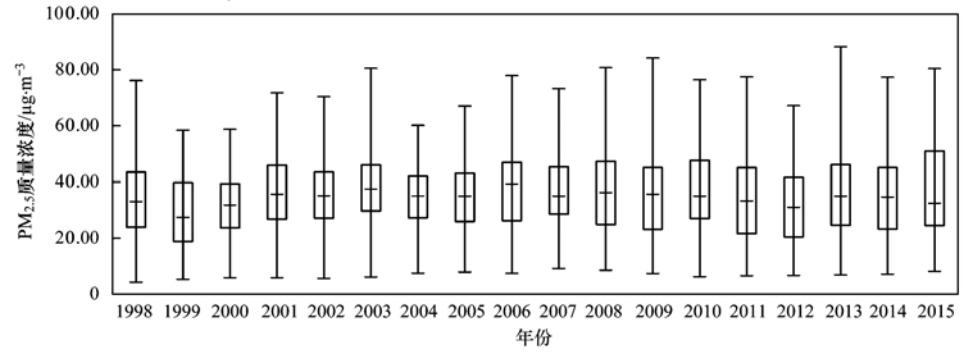


图 2 中国 PM_{2.5}质量浓度中位数以及上下四分位变化趋势

Fig. 2 Mean and upper and lower quartiles of PM2 5 changes between 1998-2015 in China

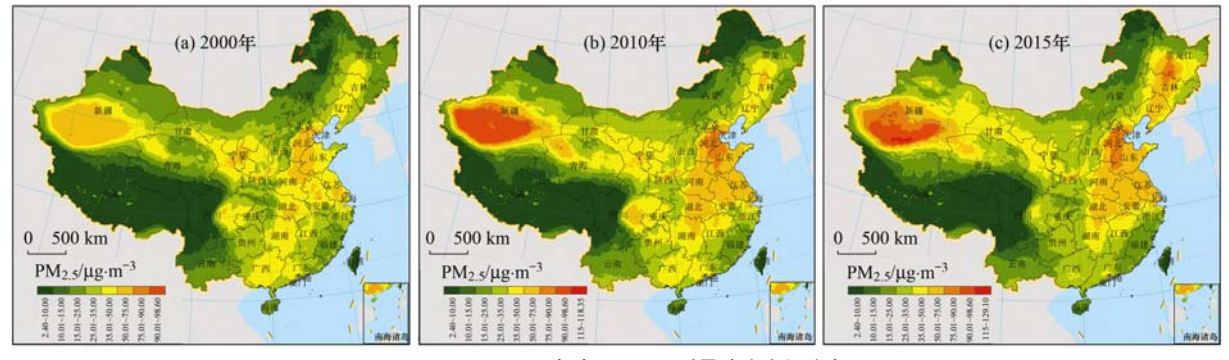


图 3 2000~2015 年中国 PM_{2.5} 质量浓度空间分布

Fig. 3 Spatial distribution of PM_{2.5} concentrations in China in 2000 and 2015

域). PM_{2.5}污染主要沿倒"T"格局向外扩散和加剧,人类活动最聚集的华北平原处于纵横污染带的交汇处,污染最为严重. 东南区域 PM_{2.5}污染的加剧主要是因为远超环境承载力的污染物高强度排放引起. 西北区域污染带,尤其是新疆塔克拉玛干沙漠污染主要是由沙尘暴等气象因素引起的. 东部城市中福建省空气质量相对较好,符合国家二级年均标准(25.00 μg·m⁻³)^[31]. 由于地形地貌不利于空气污染扩散,导致处于西南的川渝盆地的污染严重. 总而言之,中国 PM_{2.5}质量浓度最高值,从 2000 年98.60 μg·m⁻³增长到 2010 年118.70 μg·m⁻³,增长20.10 μg·m⁻³,到 2015 年,增长到 129.10 μg·m⁻³,同比 2010 年增长了 10.40 μg·m⁻³,其主要是由城市化过程所导致.

2.1.2 2000~2015年中国城市扩张和特征时空变化 中国城市扩张(人口、地域和经济扩张)均呈现 "胡焕庸线"分布格局,也就是以黑龙江黑河市到云 南省腾冲市为界限,以东区域城市扩张速度显著高 于以西的区域, 京津冀、长江三角洲、珠江三角洲、 川渝等城市群是城市扩张的主要区域(图1),长江 三角洲位居第一. 以建成区面积增长为例, 东部地 区增长值占 90% 以上, 呈东高西低的分布格局. 2000年, 364个典型城市区域的建成区面积为 59 210. 24 km², 占全国总面积 59.92%, 到 2010 年,占比增长到67.09%,同比2000年增长面积为 25 763. 20 km², 占全国建成区增长面积 92. 54%, 增长率为 43.51%, 是全国平均水平 1.54 倍, 到 2015年,建成区面积为100 346.34 km²(占 2015年 全国总面积的80.92%),同比2010增长面积为 15 362.90 km². 2000~2010年, 研究区域人口总量 从 0.75 亿人增长到 3.37 亿人, 以 347.98% 的增长 率增长了 2.62 亿人. 到 2015 年增长到 6.12 亿人, 同比 2010 增长率为 81.60%. 15 a 间, 从 364 个典 型城市和全国维度来看,人口增长和空间格局都发 生巨大变化,城市人口从乡村或小城市流入到364 个典型大城市区域中. 中国人口城市化、地域面积 扩张、经济快速发展的过程中, 伴随着城市空间特 征剧烈变化,包括夜间灯光指数、人口密度、CI、 ISC 和 NDVI 等. 作为衡量经济发展水平的一个宏 观空间指标——夜间灯光指数,2000~2010年间, 从 7.49% 增长到 11.05%,增长率为 47.53%,到 2015年, 增长到 15.34%, 同比 2010 年增长率为 38.82%. 2000、2010 和 2015 年 364 个典型城市区 域的夜间灯光指数分别为 22.48%、48.11% 和 64.56%, 分别是同期全国水平的 3.01、4.35 和 4.21 倍,得出大型城市区域的夜间灯光指数显著高

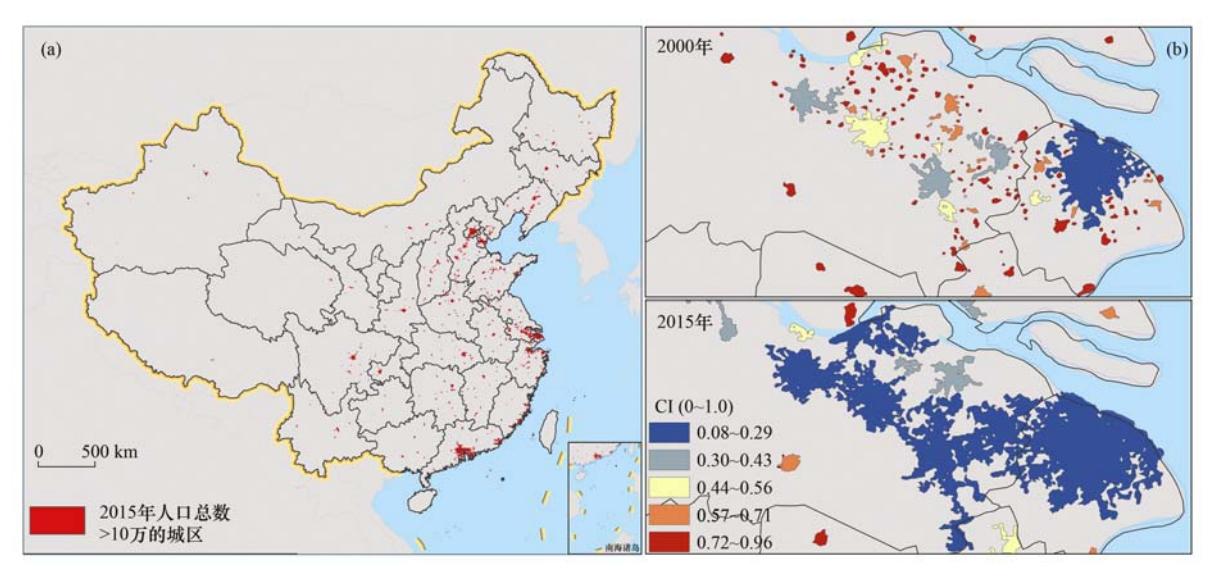
于非典型城市区域. 中国在 2000、2010 和 2015 年 的 ISC 分别为 2.44%、3.23% 和 3.89%, 2010~ 2015年间增长率(4.09%)大于2000~2010年间 (3.24%). 364 个城市区域的 ISC 在 2000、2010 和 2015年分别为 10.26%、21.28%和 28.67%,分别 是全国平均水平的 4.20、6.59 和 7.37 倍. 全国人 口密度在 2000~2010 年间从 503.74 人·km⁻²增长 到 583. 52 人·km⁻², 增长了 79. 78 人·km⁻², 年均 增长率为1.58%. 从364个城市区域维度,人口密 度从 2000 年 2785.60 人·km⁻² 增长到 2010 年 3 754.60 人·km⁻²,增长了 969 人·km⁻²,年均增长 率为3.48%,是全国平均水平的2.20倍,增长到 2015年的4 562. 30人·km⁻². 2000~2010年, 我国 NDVI 指数从 0.19 增长为 0.33, 364 个城区的 NDVI 指数从 2000 年 0.07 增长到 2010 年 0.21, 到 2015年, NDVI 指数为 0.24, 全国平均 NDVI 大于 364 个典型城市区域.

改革开放40年来,中国城市蔓延式、摊大饼式的扩张导致城市 CI 越来越小,城市交通通勤距离增长,机动车尾气排放增加,城市空气污染加剧. 2000和 2015年中国城市 CI 时空分布如图 4 所示.

2000~2015年,上海市城区面积剧烈增长,城市 CI 随之降低. 另外,城市化显著特征的城市人口密度、ISC、NDVI 和夜间灯光指数于2000~2015年在空间范围和空间分布格局均呈"胡焕庸线"分布规律(图 5).

依据城市空间单元以及城市空间特征分布,计算各城市在 2000、2010 和 2015 年城市扩张、城市空间特征变化、城市特征空间异质性变化. 表 2 总结了 PM_{2.5} 变化、城市扩张和城市空间特征变化. 2000~2010 年间 PM_{2.5} 城均变化 24. 52 μg·m⁻³,城市扩张包括人口扩张和地域扩张都很大,城均人口扩张为 64. 58 万人,城均地域面积扩张为 63. 61 km². 另外,随着城市扩张过程,城市 CI、人口密度、ISC、夜间灯光指数和 NDVI 也相应变化. 2010~2015 年间 PM_{2.5} 城均变化 36. 89 μg·m⁻³,城均人口扩张为 45. 87 万人,城均地域面积扩张为 45. 69 km²,城市空间形态的空间异质性随着城市扩张也变得越来越复杂.

中国城市特征指标表明,2000~2010年间中国城市 CI 城均增长 0.12,中国城市 CI 总体是越来越好.405个典型区域城均 ISC 变化为 11.03%,人工地表急剧扩张.夜间灯光指数以平均 25.64%增长率增长,中国经济快速增长.2010~2015年,按364个城市区域的 ISC 变化为 10.45%,夜间灯光指数平均增长22.78%,人口密度变化为1090.89



(a)2015年人口总量>10万的典型城市区域的空间范围与分布,(b)中国上海2000年与2015年的空间紧凑度对比

图 4 城市空间紧凑度变化

Fig. 4 Compact index of the urban changes in cities in China

表 2 2000 ~ 2010 年和 2010 ~ 2015 年的 $PM_{2.5}$ 和城市扩张、城市特征变化和城市空间异质性变化 $^{1)}$

Table 2 Changes in Pl	$\mathrm{M}_{2.5}$, urban expansion ,city charac	teristics, and urba	an spatial heterogeneity	in 2000-2010 and	l 2010-2015	
1万日	* B (1) (1)	2000~2010变化(N=405个城区) 2010~2015变化(N=364个城区)				
项目	变量	均值	标准差	均值	标准差	
空气质量变化	PM _{2.5} /μg·m ⁻³	24. 52	19. 95	36. 89	18. 89	
城市扩张	人口扩张/万人	64. 57	270. 97	45. 87	380. 9	
M. (t.11) Mr.	城市地域扩张/km²	63. 61	237. 67	45. 69	230. 78	
25 10 5	CI (0 ~ 1.00)	0. 12	0. 16	0. 18	0. 13	
(0 M/C	人口密度/人·km ⁻²	969. 00	2 028. 87	1 090. 89	3 034. 98	
城市特征变化	NDVI (-1 ~1)	0. 14	0. 15	0.09	0. 18	
1000	ISC/%	11. 03	9. 51	10. 45	10. 98	
城市特征空间异质性变化	夜间灯光指数/%	25. 64	14. 23	22. 78	15. 65	
	人口密度/人·(km²)-1	1 832. 13	2 724. 21	1 223. 16	2 902. 56	
	$NDVI(-1\sim1)$	0.04	0.05	0.09	0.09	
	ISC/%	18. 61	7. 79	16. 98	7. 67	
	夜间灯光指数/%	3. 42	5. 31	2. 45	6. 89	
气象条件	降雨/mm	50. 52	50. 31	34. 52	67. 31	
	气温/℃	51.48	60. 50	52. 58	23. 50	
	明火数量/个·(1000 km²) -1	35. 45	57. 31	38. 90	54. 11	
城市地形	高程/m	270. 02	462. 44	269. 02	398. 04	
	坡度/(°)	1. 34	1.40	1. 21	1. 90	
	坡向/(°)	172. 94	21. 33	178. 47	22. 45	

1) N 为城市区域总数, 气象条件为相对值

人·km⁻². 2010 ~ 2015 年间,城市化速度快于 2000 ~ 2010 年间,同时 2010 ~ 2015 年的 $PM_{2.5}$ 污染增长 值为 36. 89 μ g·m⁻³,大于 2000 ~ 2010 年的变化值 24. 52 μ g·m⁻³. 另外,从中国城市特征空间异质性 得出在城市内部,城市特征存在显著差异,城郊与主城区差异巨大.

2.2 中国城市扩张、特征变化与 PM_{2.5}变化相关关系 分析城市扩张,城市空间特征变化,城市特征 空间异质性各变量与 PM_{2.5}变化的相关关系,得出 各变量与 $PM_{2.5}$ 变化的关系显著,且都在 P < 0.01 水平显著(表 3).

本研究表明城市 CI、NDVI 与 $PM_{2.5}$ 质量浓度变化呈显著负相关,对 $PM_{2.5}$ 污染具有抑制和减缓作用. 夜间灯光指数、人口密度、ISC 与 $PM_{2.5}$ 污染变化呈显著正相关. 总之,2000~2010年间城市扩张和空间特征变化与 $PM_{2.5}$ 质量浓度变化的关系显著强度如下:夜间灯光指数 > CI > 人口密度 > ISC > 城市地域扩张 > 城市人口扩张 > NDVI;夜间灯光指

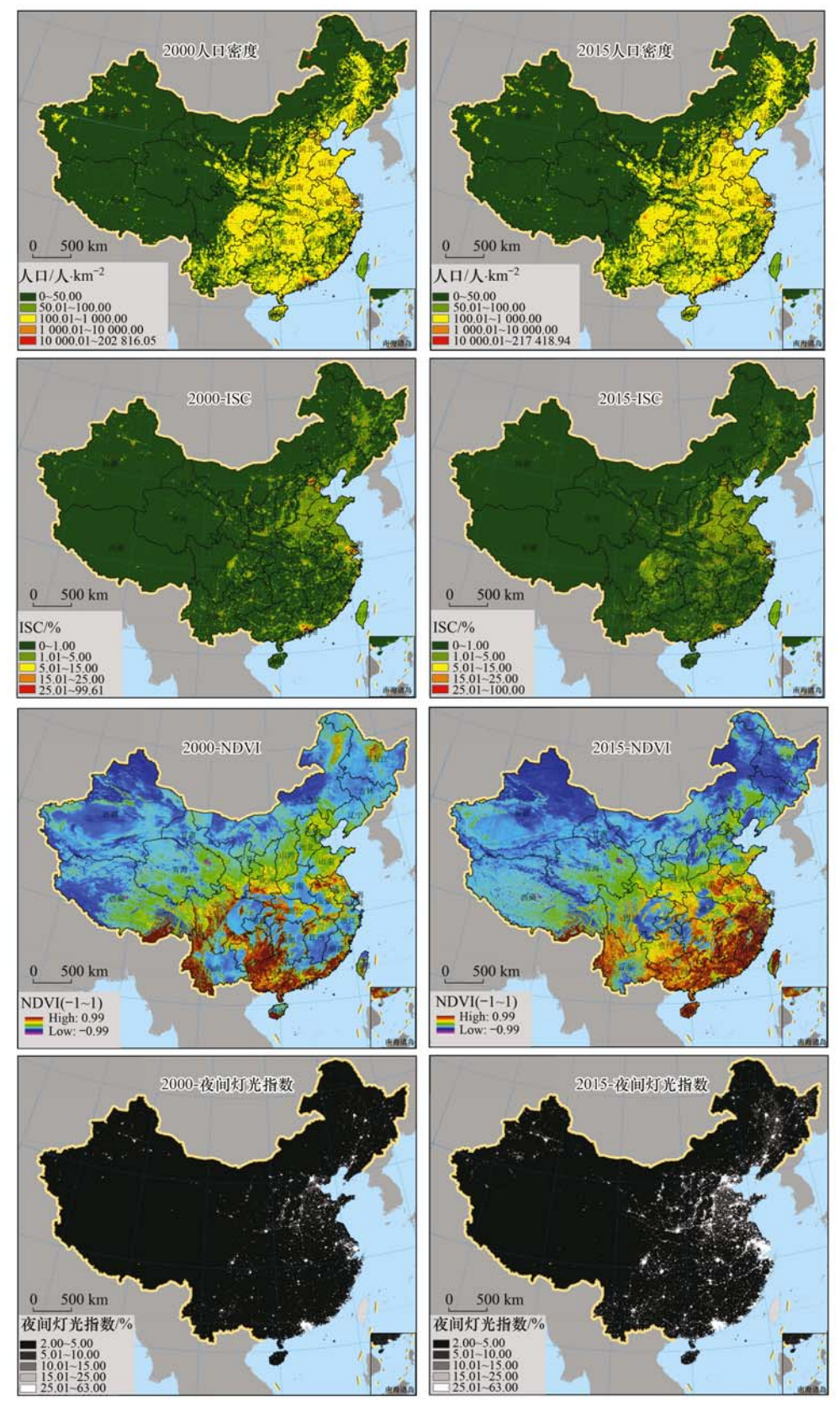


图 5 中国 2000~2015 年的城市特征分布

Fig. 5 Distribution map of urban characteristics in China in 2000-2015

数与 $PM_{2.5}$ 变化的相关关系最为明显(相关系数 R=0.76),强相关性;表征中国经济发展对 $PM_{2.5}$ 质量浓度带来的影响最为显著;其次,城市人口密度和 CI 变化与 $PM_{2.5}$ 变化相关系数分别为 0.54 和 0.65,

中强相关性;城市地域扩张、ISC 增长和城市人口扩张与 $PM_{2.5}$ 变化相关系数分别为 0.37、0.38 和 0.28,为中相关性; NDVI 与 $PM_{2.5}$ 质量浓度的相关性较小(R=0.16)如图 6 所示.2010~2015 年间,

表 3 城市扩张、城市空间特征变化以及异质性与 $PM_{2.5}$ 的相关性 $^{1)}$

Table 3 Relationships between urban expansion and $PM_{2.5}$ pollution

項目	亦具	2000~2010年间(N=405)			2010~2015年间(N=364)		
项目	变量	相关系数	标准误差	R^2	相关系数	标准误差	R^2
城市扩张	人口扩张	1. 969 × 10 ⁻⁶	0. 00 ***	0. 072	9. 564 × 10 ⁻⁷	0. 00 ***	0. 083
	城市地域扩张	2.031×10^{-8}	0. 00 ***	0. 059	5.0121×10^{-7}	0. 00 ***	0.071
城市特征变化	CI	- 83. 069	4. 859 ***	0.421	- 59. 782	3. 529 ***	0.432
	人口密度	0.005	0. 00 ***	0. 270	0. 015	0. 00 ***	0.30
	NDVI	-0.174	6. 383 ***	0.027	-0.234	4. 564 ***	0.031
	ISC	0. 711	0. 098 ***	0. 115	0. 677	0. 012 ***	0. 235
	夜间灯光指数	1. 068	0. 045 ***	0. 581	2. 123	0. 457 ***	0. 598
城市特征空间异质性变化	人口密度	0. 004	0. 00 ***	0. 264	0. 104	0. 00 ***	0. 279
	NDVI	- 106. 56	20. 223 ***	0.064	-311.76	12. 266 ***	0.074
	ISC	0. 571	0. 124 ***	0.05	0. 345	3. 543 ***	0.09
	夜间灯光指数	2. 026	0. 157 ***	0. 292	3. 602	0. 658 ***	0.390

¹⁾N为城市区域总数;***表示P<0.001

表 4 城市扩张,城市特征变化,城市空间异质性对 $\mathbf{PM}_{2.5}$ 污染影响 $^{1)}$

Table 4 Impact of urban expansion, changes in urban characteristics and urban spatial heterogeneity on PM_{2.5} pollution

Table 4 Impact of u	rban expansion, chang	/			0 , .	J. J. 1	1
项目	变量	2000~2010年间(N=405)			2010~2015年间(N=364)		
		相关系数	标准误差	R^2	相关系数	标准误差	7 2
城市扩张	人口扩张	1.461×10^{-6}	0.00	0.04	2.341×10^{-6}	0.00	0.05
	城市地域扩张	-6.866×10^{-9}	0.00	0.01	-5.670×10^{-9}	0.00	0.02
	R^2	^	0. 05	18	1 11	0.07	1)
_	紧凑度	-4. 927	6. 137	0. 102	- 5. 712	5.913	0. 135
/ 1	人口密度	0.001	0.001	0.012	0.020	0.022	0.021
城市特征变化	NDVI	-24.787	5. 818	0. 036	- 22. 656	6. 123	0.045
6 6 611	ISC	0. 330	0. 142	0. 025	0. 456	0.564	0.111
7 7/1	灯光覆盖率	0.482	0. 093	0.218	0. 654	0.432	0. 238
) (() L	R^2	10/10). 393	3/1	-1	0. 55	1
CINVE	人口密度	-0.001	0.00	0.006	0. 034	0.321	0.005
城市特征空间异质性变化	NDVI	39. 823	18. 978	0.009	43. 412	16. 741	0.007
城市特征主向开 灰丘文化	ISC	-0.378	0. 123	0. 122	-0.452	0.102	0. 132
(.)	夜间灯光指数	0. 640	0. 201	0.012	1. 650	0.303	0.112
1	R^2	(). 149			0. 256	
	城市面积	-7.743×10^{-9}	0.00	0.024	-4.733×10^{-9}	0.012	0.036
	人口数量	3. 647×10^{-6}	0.00	0.002	1. 417 \times 10 $^{-6}$	0.410	0.012
2000 年城市基础特征	NDVI	1. 044	6. 944	< 0.001	3. 012	4. 102	0.002
	ISC	0.094	0. 142	0.002	1. 149	0.152	0.002
	夜间灯光指数	0. 121	0. 119	0.008	1. 431	3. 221	0.005
	R^2	(0. 037			0.057	
	明火数量	0.024	0.010	0.005	0. 189	0.124	0.007
气象条件变化	降雨量	-0.143	0.025	0. 230	-4. 152	0.963	0. 281
	气温	0. 270	0.030	0. 274	0. 362	0.047	0. 295
	R^2	(). 509			0. 583	
	高程均值	-0.010	0.001	0.059	-0.123	0. 142	0.009
城市地形	坡度均值	-1.646	0.416	0.013	-2.310	1.045	0.015
	坡向均值	-0.038	0. 024	0.002	-0.125	0.852	0.005
	R^2	(0. 074			0. 029	
模型总体 R ²		(). 778			0. 803	

¹⁾ N 为城市区域总数

各要素与 $PM_{2.5}$ 变化相关程度[图 6(b)]与 2000 ~ 2010 年大体一致[图 6(a)].

2.3 中国城市扩张以及特征变化对 $PM_{2.5}$ 污染变化的贡献分析

通过回归模型分析城市扩张、城市空间特征变

化对 PM_{2.5}变化的贡献率. 为了更好地理解和掌握城市扩张、城市特征变化、城市空间异质性对PM_{2.5}变化的贡献, 把 2000 年基础城市特征数据、气象条件(降雨、气温)、城市地形地貌(高程、坡度、坡向)和秸秆燃烧(明火数量)作为调整参数加

人到模型中,构建了包括所有变量的多元回归模型.同理,2010~2015年间的模型是把2010的基础城市特征数据除去,构建多元回归模型(表4).

城市扩张以及城市空间特征变化对 PM,5污染 影响显著. 城市扩张, 城市特征变化, 城市空间特 征异质性变化对 2000~2010 年中国 PM,5浓度总贡 献率为 77.80%, 对 2010~2015 年期间的 PM,5变 化贡献率为82.30%. 与以往研究相符, 气象条件 对 PM_{2.5}质量浓度变化影响最大^[21,32]. 除了气象因 素,城市空间特征变化对 PM,,加剧贡献率最高, 在 2000 ~ 2010 年期间贡献率为 39.30%, 在 2010 ~ 2015年期间贡献率为55.00%;其次为城市空间特 征异质性, 其对 2000~2010年间 PM,5变化的贡献 率为 14.90%, 对 2010~2015 年期间污染加剧贡献 率为 25.60%; 均大于 2000、2010 年基础城市特征 对 PM, 5 变化的贡献率 3.70% 和 5.70%. 总而言 之,未来城市转型发展中,构建绿色生态城区过程 中, 应充分考虑城市空间布局、城市空间特征变 化,尽可能实现城市建设对生态环境破坏最小,甚 至增强城市生态功能, 实现生态环境友好的可持续 发展的新型城市建设.

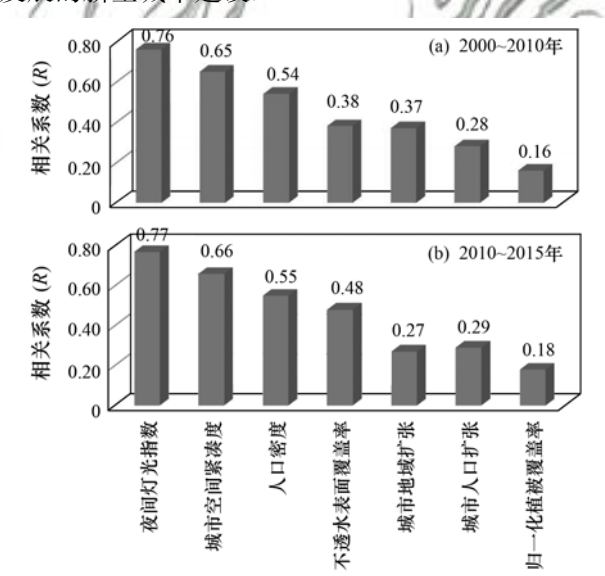


图 6 2000~2015 年间城市扩张和城市特征变化与 $PM_{2.5}$ 的关系

Fig. 6 Relationship between urban expansion and $PM_{2.5}$ in 2000-2015

3 结论

(1)突破传统采用城市行政区划界定城市区域,利用城市分类数据来界定城市区域,使得城市扩张以及城市特征变化的计算与分析更为准确.对2000~2010年和2010~2015年城市空间特征变化是利用2015年城市区域内均值减去2010年的面积加权均值,2000~2010年间变化是2010年城市区域均值减去2000年的面积加权均值.

- (2)分别从不同的空间维度和时间阶段分析了中国城市扩张、城市空间特征变化、城市特征空间异质性对 PM_{2.5}污染的影响. 基于 2015 年的城市区域,分析了 2010~2015 年期间,城市扩张,城市空间特征变化,城市空间特征异质性变化对 PM_{2.5}浓度变化总贡献率为 80.30%,城市空间特征变化的贡献率最高为 55.00%,城市空间异质性的贡献率为 25.60%,均大于 2010 年基础城市特征的贡献率5.70%. 基于 2010 年的城市区域,分析了 2000~2010 年期间,得出城市空间特征变化对 PM_{2.5}变化贡献率为 39.30%,城市空间特征变化对 PM_{2.5}变化贡献率为 39.30%,城市空间特征异质性的贡献率分别为 14.90%,均大于 2000 年基础城市特征的贡献率 3.70%.
- (3)中国城市扩张以及城市空间特征变化与 PM_{2.5}污染显著相关,相关强度顺序为:夜间灯光指数 > CI > 人口密度 > ISC > 城市地域扩张 ≥ 城市人口扩张 > NDVI;夜间灯光指数与 PM_{2.5}变化关系最明显,相关系数 R 为 0.77,具强相关性,表征经济发展对 PM_{2.5}的影响最大;人口密度和城市 CI 与 PM_{2.5}变化的相关系数分别为 0.55 和 0.66,中强相关.表明城市化进程中城市格局对城市空气污染水平具有重大影响,科学合理的绿色生态城市发展不但不会产生污染,反而能提升城市生态功能.因此,要全面贯彻和实现城市绿色生态发展理念,合理布局城市基础设施,推动绿色低碳循环的经济发展,促进城市精细化管理.把对生态环境的影响降到最低,降低空气污染排放,减缓城市空气污染水平,实现绿色生态城区可持续发展建设.

参考文献:

- [1] 乔文怡, 李玏, 管卫华, 等. 2016—2050 年中国城镇化水平预测[J]. 经济地理, 2018, **38**(2): 51-58. Qiao W Y, Li L, Guan W H, *et al.* Prediction of urbanization level in China: 2016-2050[J]. Economic Geography, 2018, **38** (2): 51-58.
- [2] 全国两会特别报道. 共商共治共享, 高质量推进生态建设[N/OL]. 解放日报, http://kns. cnki. net/KCMS/detail/detail. aspx? QueryID = 2&CurRec = 1&recid = &FileName = JFRB201803190040&DbName = CCNDLAST2018&DbCode = CCND&yx = &pr = &URLID = , 2018-03-19.
- [3] United Nations. World urbanization prospects (2014 revision) [M]. New York: United Nations, 2014.
- [4] Zhao L, Lee X, Smith R B, et al. Strong contributions of local background climate to urban heat islands [J]. Nature, 2014, 511(7508): 216-219.
- [5] Wigginton N S, Fahrenkamp-Uppenbrink J, Wible B, et al. Cities are the future [J]. Science, 2016, 352(6288): 904-905.
- [6] 王彤, 华阳, 许庆成, 等. 京津冀郊区站点秋冬季大气 PM_{2.5}来源解析[J]. 环境科学, 2019, **40**(3): 1035-1042. Wang T, Hua Y, Xu Q C, *et al.* Source apportionment of PM_{2.5} in suburban area of Beijing-Tianjin-Hebei region in autumn and winter [J]. Environmental Science, 2019, **40**(3): 1035-

- 1042.
- [7] 周伟奇,钱雨果.中国典型区域城市化过程及其生态环境效应[M].北京:科学出版社,2017.
- [8] 秦雨,张强,李鑫,等. 中国燃煤电厂大气污染物排放的健康影响特征[J]. 环境科学, 2018, **39**(12): 5289-5295. Qin Y, Zhang Q, Li X, *et al.* Patterns of mortality from air pollutant emissions in China's coal-fired power plants [J]. Environmental Science, 2018, **39**(12): 5289-5295.
- [9] Yang H. China's soil plan needs strong support [J]. Nature, 2016, 536(7617): 375.
- [10] Qi Y, Stern N, Wu T, et al. China's post-coal growth [J].
 Nature Geoscience, 2016, 9(8): 564-566.
- [11] 黄丹丹,周敏,余传冠,等. 长三角淳安地区二次颗粒物污染形成机制[J]. 环境科学,2018,39(12):5308-5314.

 Huang D D, Zhou M, Yu C G, et al. Physiochemical properties of the aerosol particles and their impacts on secondary aerosol formation at the background site of the Yangtze river delta[J]. Environmental Science, 2018, 39(12):5308-5314.
- [12] Palmer M, Bernhardt E, Chornesky E, et al. Ecology for a crowded planet [J]. Science, 2004, 304 (5675): 1251-1252.
- [13] McDonnell M J, Macgregor-Fors I. The ecological future of cities [J]. Science, 2016, 352(6288): 936-938.
- [14] Zhang X Y, Sun J Y, Wang Y Q, et al. Factors contributing to haze and fog in China[J]. Chineses Science Bulletin, 2013, 58 (13): 1178-1187.
- [15] Peng J, Chen S, Lu H L, et al. Spatiotemporal patterns of remotely sensed PM_{2,5} concentration in China from 1999 to 2011
 [J]. Remote Sensing of Environment, 2016, 174: 109-121.
- [16] 段杰雄,翟卫欣,程承旗,等.中国PM_{2.5}污染空间分布的社会经济影响因素分析[J].环境科学,2018,**39**(5):2498-2504.
 - Duan J X, Zhai W X, Cheng C Q, et al. Socio-economic factors influencing the spatial distribution of PM_{2,5} concentrations in China; an exploratory analysis [J]. Environmental Science, 2017, **39**(5): 2498-2504.
- [17] 王桂林,杨昆,杨扬. 京津冀地区不透水表面扩张对 PM_{2.5} 污染的影响研究[J]. 中国环境科学,2017,37(7):2470-2481.
 - Wang G L, Yang K, Yang Y. The spatio-temporal variation of $PM_{2.5}$ pollution and the its correlation with the impervious surface expansion [J]. China Environmental Science, 2017, 37(7): 2470-2481.
- [18] 韩立建. 城市化与 PM_{2.5}时空格局演变及其影响因素的研究进展[J]. 地理科学进展, 2018, **37**(8): 1011-1021.

 Han L J. Relationship between urbanization and urban air quality: An insight on fine particulate dynamics in China[J]. Progress in Geography, 2018, **37**(8): 1011-1021.
- [19] Larkin A, Van Donkelaar A, Geddes J A, et al. Relationships between changes in urban characteristics and air quality in East Asia from 2000 to 2010 [J]. Environmental Science & Technology, 2016, **50**(17): 9142-9149.

- [20] Van Donkelaar A, Martin R V, Brauer M, et al. Global estimates of fine particulate matter using a combined geophysicalstatistical method with information from satellites, models, and monitors[J]. Environmental Science & Technology, 2016, 50 (7): 3762-3772.
- [21] Han L J, Zhou W Q, Pickett S T A, et al. An optimum city size? The scaling relationship for urban population and fine particulate (PM_{2.5}) concentration[J]. Environmental Pollution, 2016, 208: 96-101.
- [22] Han L J, Zhou W Q, Li W F. Increasing impact of urban fine particles (PM_{2.5}) on areas surrounding Chinese cities [J]. Scientific Reports, 2015, 5: 12467.
- [23] 贺晋瑜, 燕丽, 王彦超, 等. 我国 PM_{2.5}浓度分阶段改善目标情景分析[J]. 环境科学, 2019, **40**(5): 2036-2042. He J Y, Yan L, Wang Y C, *et al.* Scenario analysis of PM_{2.5} concentration targets and milestones in China[J]. Environmental Science, 2019, **40**(5): 2036-2042.
- [24] 卢文, 王红磊, 朱彬, 等. 南京江北 2014 ~ 2016 年 PM_{2.5}质量浓度分布特征及气象和传输影响因素分析[J]. 环境科学学报, 2019, **39**(4): 1039-1048.

 Lu W, Wang H L, Zhu B, *et al.* Distribution characteristics of PM_{2.5} mass concentration and their impacting factors including meteorology and transmission in north suburb of Nanjing during 2014 to 2016[J]. Acta Scientiae Circumstantiae, 2019, **39**(4): 1039-1048.
- [25] 沈利娟, 王红磊, 李莉, 等. 嘉兴市春季一次持续雾霾过程中气象条件与污染物变化特征分析[J]. 环境科学, 2016, 37(8): 2871-2880.

 Shen L J, Wang H L, Li L, et al. Observation analysis on the characteristics of meteorological elements and pollutants during a continuous fog and haze episode in spring in Jiaxing City[J]. Environmental Science, 2016, 37(8): 2871-2880.
- [26] Han L J, Zhou W Q, Li W F, et al. Impact of urbanization level on urban air quality: a case of fine particles (PM_{2.5}) in Chinese cities[J]. Environmental Pollution, 2014, 194: 163-170.
- [27] Keola S, Andersson M, Hall O. Monitoring economic development from space; using nighttime light and land cover data to measure economic growth [J]. World Development, 2015, 66; 322-334.
- [28] Hao Y, Liu Y M. The influential factors of urban PM_{2.5} concentrations in China: a spatial econometric analysis [J]. Journal of Cleaner Production, 2016, 112: 1443-1453.
- [29] World Bank. East Asia's changing urban landscape: measuring a decade of spatial growth [M]. Washington, DC: The World Bank, 2015.
- [30] Jerrett M. Atmospheric science; the death toll from air-pollution sources[J]. Nature, 2015, 525(7569); 330-331.
- [31] 环境空气质量标准(GB 3095-2012)[S]. 中华人民共和国: 2012.
- [32] Normile D. China rethinks cities [J]. Science, 2016, 352 (6288): 916-918.

HUANJING KEXUE

Environmental Science (monthly)

Vol. 40 No. 8 Aug. 15, 2019

CONTENTS

Characteristics of PM _{2.5} Pollution and the Efficiency of Concentration Control During a Red Alert in the Beijing-Tianjin-Hebei Reg	gion, 2016
2.5	· ZHANG Chong, LANG Jian-lei, CHENG Shui-yuan, et al. (3397)
Concentration Characteristics of PM _{2,5} and the Causes of Heavy Air Pollution Events in Beijing During Autumn and Winter	XU Ran, ZHANG Heng-de, YANG Xiao-wen, et al. (3405)
Elemental Composition Characteristics of PM _{2,5} and PM ₁₀ , and Heavy Pollution Analysis in Hefei	
Pollution Characteristics and Source Apportionment of Fine Particulate Matter in Autumn and Winter in Puyang, China	
Pollution Characteristics and Sources of Carbonaceous Components in PM _{2.5} in the Guanzhong Area	
Molecular Composition and Source Apportionment of Fine Organic Aerosols in Autumn in Changchun	
Effects of Urban Expansion and Changes in Urban Characteristics on PM _{2.5} Pollution in China	
Effect of a Wet Flue Gas Desulphurization System on the Emission of PM _{2.5} from Coal-Fired Power Plants	DENG Jian-guo, MA Zi-zhen, LI Zhen, et al. (3457)
Pollution Characteristics and Emission Coefficients for Volatile Organic Compounds from the Synthetic Leather Industry in Zhejiang	Province ····
	······· XU Jia-qi, WANG Zhe-ming, SONG Shuang, et al. (3463)
Particle Size Distribution and Population Characteristics of Airborne Bacteria Emitted from a Sanitary Landfill Site	
Distribution of Total Microbes in Atmospheric Bioaerosols in the Coastal Region of Qingdao · · · · · · · · · ·	GONG Jing, QI Jian-hua, LI Hong-tao (3477)
Distribution, Sources, and Health Risk Assessment of PAHs in Water Supply Source Regions of Guangzhou	SONG Yu-mei, WANG Chang, LIU Shang, et al. (3489)
Distribution of 16 Polycyclic Aromatic Hydrocarbons in Dianchi Lake Surface Sediments After the Integrated Water Environment C	ontrol Project · · · · · · · · · · · · · · · · · · ·
8	HU Xin-yi, GAO Bing-li, CHEN Tan, et al. (3501)
Distribution Characteristics and Source Analysis of Polycyclic Aromatic Hydrocarbons in Salinized Farmland Soil from the Oil Mini	ng Area of the Yellow River Delta
	······ QIU Hui, LIU Yue-xian, XIE Xiao-fan, et al. (3509)
Wind Field Influences on the Spatial Distribution of Cyanobacterial Blooms and Nutrients in Meiliang Bay of Lake Taihu, China	
Spatial and Temporal Distribution Characteristics and the Retention Effects of Nutrients in Xiangjiaba Reservoir	
Effects of Exogenous Inputs on Phosphorus Recovery and Transport in Newborn Surface Layers from Sediment Dredging	
Chemical Characteristics and Sources of Groundwater Sulfate in the Kashgar Delta, Xinjiang	
Groundwater Chemistry Characteristics and the Analysis of Influence Factors in the Luochuan Loess Tablelands	LI Zhou, LI Chen-xi, HUA Kun, et al. (3559)
Analysis of River Zooplankton Community Characteristics in Autumn in Beijing	WANG Hai-lin, LIU Yu-fei, REN Yu-fen, et al. (3568)
Benthic Diatom Communities in the Main Stream of Three Gorges Reservoir Area and Its Relationship with Environmental Factors	$\cdots\cdots$ LIU Li, HE Xin-yu, FU Jun-ke, et al. (3577)
Environmental Response and Ecological Function Prediction of Aquatic Bacterial Communities in the Weihe River Basin	WAN Tian, HE Meng-xia, REN Jie-hui, et al. (3588)
Community Composition of nirS-type Denitrifying Bacteria in the Waters of the Lower Reaches of the Fenhe River and Its Relations	ship with Inorganic Nitrogen ·····
	······ WANG Yin-long, FENG Min-quan, DONG Xiang-qian (3596)
Metabolic Functional Analysis of Dominant Microbial Communities in the Rapid Sand Filters for Drinking Water	
Control Measure Effects on the Effluent Quality from Extensive Green Roofs Based on Stabilized Sludge Recycling	PENG Hang-yu, LI Tian, QI Yue, et al. (3612)
Impacts of Vegetation on Quantity and Quality of Runoff from Green Roofs	ZHANG Sun-xun, ZHANG Shou-hong, ZHANG Ying, et al. (3618)
Organic Matter Removal and Membrane Fouling Control of Secondary Effluents Using a Combined Nanofiltration Process	FAN Ke-wen, LI Xing, YANG Yan-ling, et al. (3626)
Adsorption Properties of Ammonia Nitrogen in Aqueous Solution by Various Materials	
Effects of Different Concentrations of Ammonia Nitrogen on the Growth and Enzyme Activity of Four Common Algae Strains	CHANG Ting, XU Zhi-hui, CHENG Peng-fei, et al. (3642)
Treatment of Highly Concentrated Swine Wastewater and Its Degradation Processes Using Three Matrix Materials	
Phosphorus Removal Performance and Mechanism of Modified Zeolite Using Alum Sludge Acidified Extraction Liquid	
Advanced Denitrification of Municipal Wastewater Achieved via Partial ANAMMOX in Anoxic MBBR	
Effect of an Aerobic Unit and a Sedimentation Unit on Sludge and Nitrogen Removal in an Anoxic Unit in a Continuous-flow System	m
	····· XUE Huan-ting, YUAN Lin-jiang, LIU Xiao-bo, et al. (3675)
Performance and Mechanisms of Advanced Nitrogen Removal via FeS-driven Autotrophic Denitrification Coupled with ANAMMOX	MA Jing-de, PAN Jian-xin, LI Ze-min, et al. (3683)
Simultaneous Conversion Conditions of Ammonia and Sulfate in ANAMMOX Systems	DONG Shi-yu, BI Zhen, ZHANG Wen-jing, et al. (3691)
Potential Source Environments for Microbial Communities in Wastewater Treatment Plants (WWTPs) in China	ZHANG Bing, WU Lin-wei, WEN Xiang-hua (3699)
Comparison of the Microbial Community Structure in Nitrifying Processes Operating with Different Dissolved Oxygen Concentrations	s ····· LIU Wen-ru, GU Guang-fa, SONG Xiao-kang, et al. (3706)
Simultaneous Nitrogen and Phosphorus Removal and Kinetics by the Heterotrophic Nitrifying Bacterium Acinetobacter junii NP1 ····	
Realization of Limited Filamentous Bulking with Type 0092 Filamentous Bacteria as the Dominant Filamentous Bacteria in Shortcut	Nitrification
	GAO Chun-di, AN Ran, HAN Hui, et al. (3722)
Nitrification, Denitrification, and N ₂ O Production Under Saline and Alkaline Conditions	DAI Wei, ZHAO Jian-qiang, DING Jia-zhi, et al. (3730)
Effect of Biochar on Ammonia Volatilization in Saline-Alkali Soil	WANG Yi-yu, WANG Sheng-sen, DAI Jiu-lan (3738)
Effect of Two Soil Synergists on Ammonia Volatilization in Paddy Fields	ZHOU Yu-ling, HOU Peng-fu, LI Gang-hua, et al. (3746)
Determination of Heavy Metal Geochemical Baseline Values and Its Accumulation in Soils of the Luanhe River Basin, Chengde	SUN Hou-yun, WEI Xiao-feng, GAN Feng-wei, et al. (3753)
Migration and Source Analysis of Heavy Metals in Vertical Soil Profiles of the Drylands of Xiamen City	
Heavy Metal Pollution Characteristics and Influencing Factors in Baoji Arban Soils	
Stabilizing Effects of Fe-Ce Oxide on Soil As(V) and P	
Stabilization of Arsenic-Contaminated Soils Using Fe-Mn Oxide Under Different Water Conditions	
Effects of Biochar Amendment on Soil Microbial Biomass Carbon, Nitrogen and Dissolved Organic Carbon, Nitrogen in Paddy Soil	
Effects of Organic Amendments on Microbial Biomass Carbon and Nitrogen Uptake by Corn Seedlings Grown in Two Purple Soils	
Effects of Land Use Type on the Content and Stability of Organic Carbon in Soil Aggregates	
Effects of Converting Farmland into Forest and Grassland on Soil Nitrogen Component and Conversion Enzyme Activity in the Mountain Conversion Enzyme	ntainous Area of Southern Ningxia
Leaching Behavior of Dissolved Organic Matter in Biochar with Different Extracting Agents	
Toxicity of PM _{2-z} Based on a Battery of Bioassays	